

2ОУОСТ

Двухканальный быстродействующий операционный усилитель с обратной связью по току

1. Общие положения

2ОУОСТ – двухканальный операционный усилитель (ОУ) с обратной связью по току предназначен для использования в тракте приемопередатчика высокоскоростного мультиплексного канала передачи данных (МКПД). Оба канала ОУ используются для блока передатчика и рассчитаны на большие выходные токи (до 500 мА). Все каналы ОУ обеспечивают хорошие динамические параметры в широком диапазоне частот и коэффициентов усиления. Каналы ОУ устойчиво работают на низкоомную нагрузку при коэффициентах усиления вплоть до $K_y = +3$ и $R_H = 10$ Ом и имеют функцию выключения каждого канала независимо, переводящую выходы ОУ в высокоимпедансное состояние. В данных ОУ использована новая архитектура входных каскадов, основанная на несимметричной мостовой схеме с использованием комплементарных «перегнутых» каскадов, позволяющая получить хорошие динамические параметры при минимальной «электрической длине».

2. Область применения

- Приемопередатчики МКПД
- Приемопередатчики xDSL
- Драйверы кабельных модемов
- Драйверы видео-каналов
- Буферы АЦП и ЦАП
- Трансимпедансные усилители

3. Устройство и состав микросхемы

3.1. Схема электрическая структурная приведена на рис.1

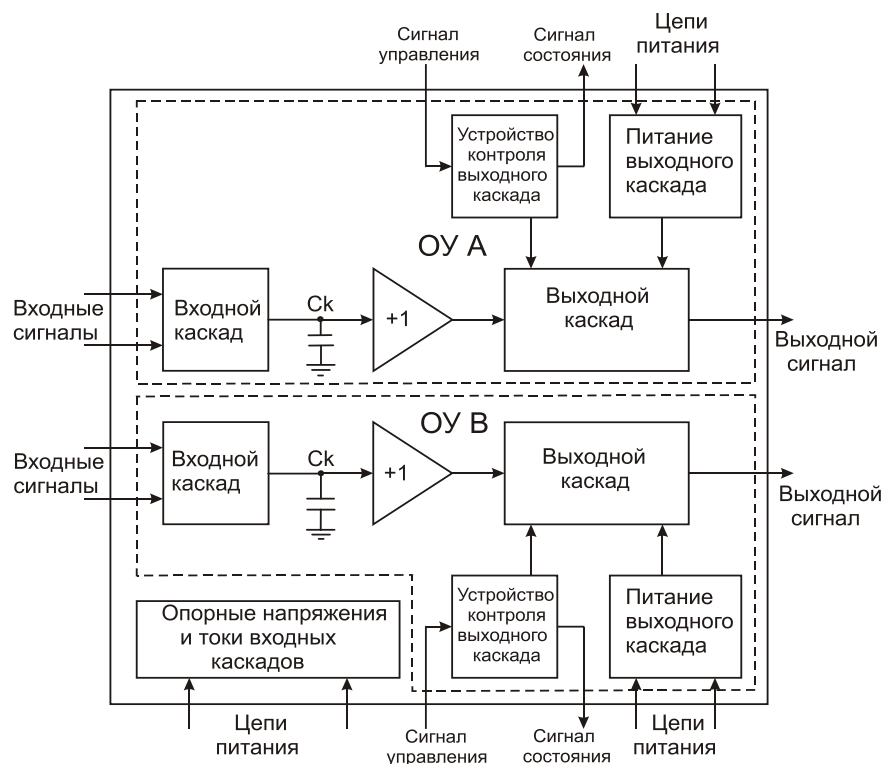


Рис.1 - Схема электрическая структурная

3.2. Условно графическое изображение микросхемы приведена на рис.2

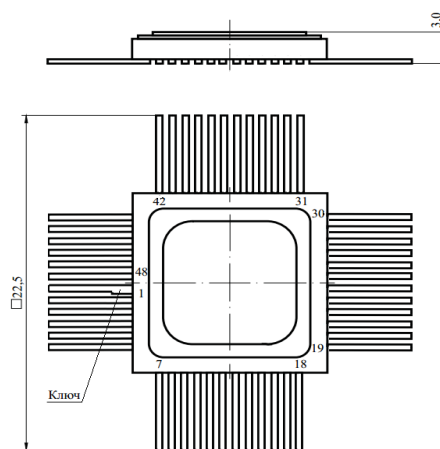
1	POSB	20УОСТ	VCC_AB	48
2	NEGB		POSA	47
3	OUTB_FB		NEGA	46
5,8	VCC_B		OUTA_FB	45
12,13	OUTB		VCC_A	41,44
17,20	VEE_B		OUTA	36,37
21	TSTB		VEE_A	29,32
22	ENBB		TSTA	27
23	VEE_AB		ENBA	26
25	GND		NC	38,39,40,42,43
24	NC		NC	28,30,31,33,34,35
4,6,7,9,10,11	NC		NC	14,15,16,18,19

П р и м е ч а н и я

- 1 Нумерация, тип и наименования выводов микросхемы приведены в таблице 1.
- 2 Описание назначения выводов микросхемы приведено в таблице 1.

Рис. 2– Условно графическое изображение микросхемы

Тип корпуса – металлокерамический — 5133.48-3



Т а б л и ц а 1 – Нумерация и обозначения выводов микросхемы

Номер вывода	Тип вывода	Функциональное назначение	Условное обозначение
1	I	Не инвертирующий вход ОУ «В»	POSB
2	I	Инвертирующий вход ОУ «В»	NEGB
3	O	Выход обратной связи ОУ «В»	OUTB_FB
4,6,7	-	Не используются	-
5,8	S	Напряжение питания выходного каскада ОУ «В» (положительное)	VCC_B
9,10,11	-	Не используются	-
12,13	O	Выход ОУ «В»	OUTB
14,15,16,18,19	-	Не используются	-
17,20	S	Напряжение питания выходного каскада ОУ «В» (отрицательное)	VEE_B
21	O	Тестовый сигнал ОУ «В»	TSTB
22	I	Управляющий сигнал ОУ «В»	ENBB
23	S	Напряжение питания входных каскадов ОУ «А» и ОУ «В» (отрицательное)	VEE_AB
24	-	Не используется, соединяется с МП и Кр	-
25	S	Общий	GND
26	I	Управляющий сигнал ОУ «А»	ENBA
27	O	Тестовый сигнал ОУ «А»	TSTA
28,30,31	-	Не используются	-
29,32	S	Напряжение питания выходного каскада ОУ «А» (отрицательное)	VEE_A
33,34,35	-	Не используются	-
36,37	O	Выход ОУ «А»	OUTA
38,39,40	-	Не используются	-
41,44	S	Напряжение питания выходного каскада ОУ «А» (положительное)	VCC_A
42,43	-	Не используются	-
45	O	Выход обратной связи ОУ «А»	OUTA_FB
46	I	Инвертирующий вход ОУ «А»	NEGA
47	I	Не инвертирующий вход ОУ «А»	POSA
48	S	Напряжение питания входных каскадов ОУ «А» и ОУ «В» (положительное)	VCC_AB

П р и м е ч а н и я

Расшифровка обозначений типа выводов:

- I – вход;
- O – выход;
- S – питание;
- МП – монтажная площадка корпуса 5133.48-3;
- Кр – крышка корпуса 5133.48-3;

4. Указание по применению и эксплуатации.

4.1. Основные схемы включения микросхемы приведены на рисунках 3, 5, 7, 9.

Динамические параметры микросхем с токовой обратной связью сильно зависят от номинала резистора в цепи обратной связи R_{oc} (R_2 , R_3 на рис.3, 5, 7, 9), поэтому его значение необходимо выбирать оптимальным. Оптимальное значение R_{oc} , зависящее от коэффициента передачи K_u , приведены ниже.

Таблица 2

Инвертирующее включение		Неинвертирующее включение	
K_u от 1 до 4	$R_{oc} = 1 \text{ кОм}$	K_u от 2 до 8	$R_{oc} = 1 \text{ кОм}$
$K_u = 5$ и более	$R_{oc} = 820 \text{ Ом}$	$K_u = 9$ и более	$R_{oc} = 820 \text{ Ом}$

Указанные в таблице номиналы резистора R_{oc} обеспечивают оптимальное сочетание быстродействия и устойчивости микросхемы. Увеличение номинала R_{oc} приводит к снижению динамических параметров микросхемы, но способствует улучшению устойчивости. Снижение номинала R_{oc} приводит к повышению динамических характеристик, однако чрезмерное уменьшение R_{oc} может привести к потере устойчивости микросхемы. Не допускается включение микросхемы с $K_u = 1$ в неинвертирующем включении.

Не допускается включение емкости параллельно резистору R_{oc} и подключение емкостей к инвертирующему входу при любом включении микросхемы.

5. Основные электрические параметры

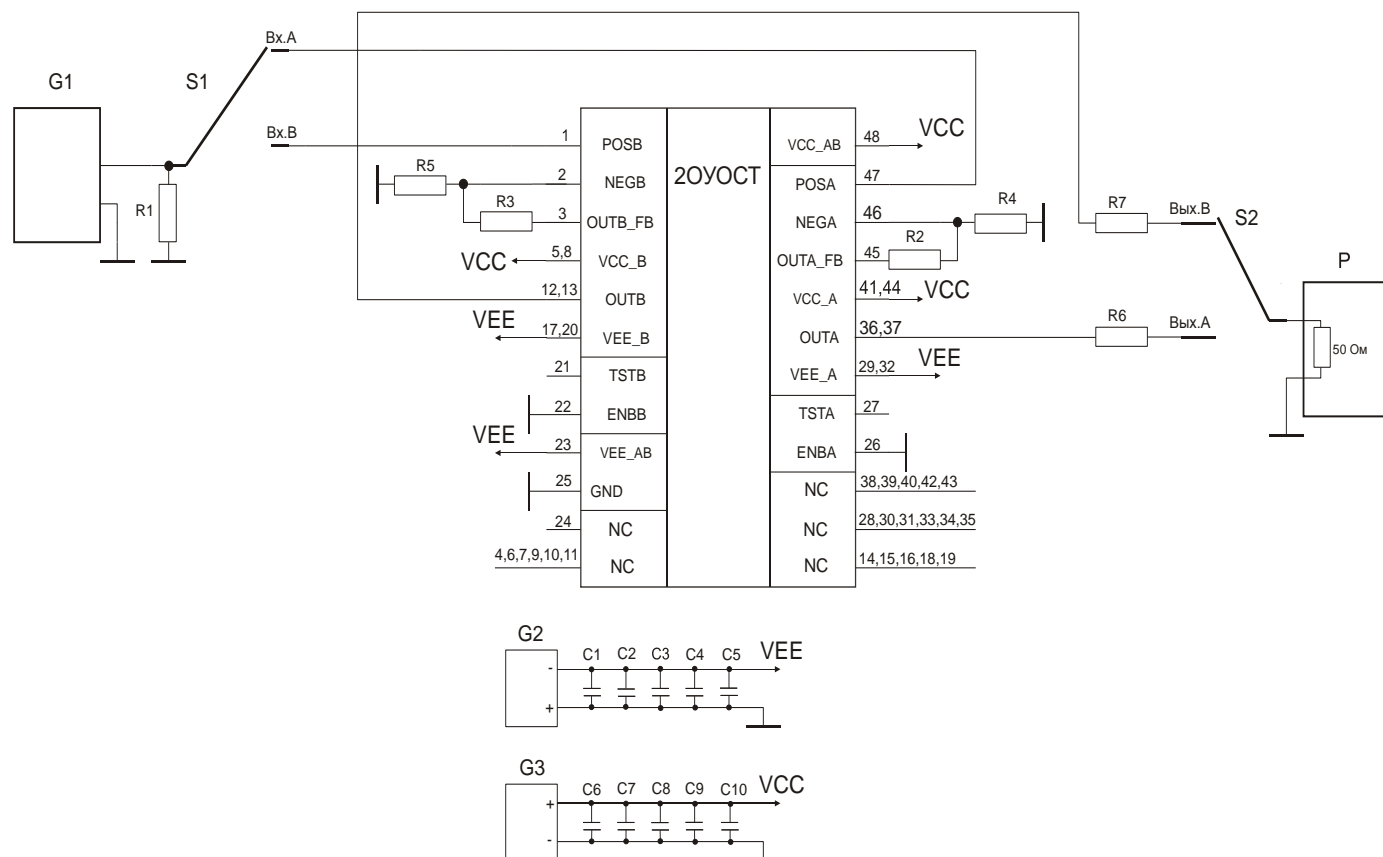
5.1 Значения электрических параметров микросхемы при номинальных значениях напряжений питания $U_{П} = \pm 5В$ и допустимых отклонениях от номинальных значений не более $\pm 5\%$ соответствуют нормам, приведенным в таблице 1.

Т а б л и ц а 1 — Электрические параметры микросхемы

Наименование параметра, единица измерения, режим измерения	Буквенное обозначение параметра	Норма параметра микросхемы		Темпе- ратура среды, °С
		не менее	не более	
Напряжение смещения нуля, мВ при $U_{ВХ} = 0, R_{Н} = 100 \text{ Ом}$	$U_{СМ}$	минус 8	8	25; минус 60; 85
Входной ток неинвертирующего входа, мкА при $U_{ВХ} = 0, R_{Н} = 100 \text{ Ом}$	$I_{ВХ+}$	минус 15	15	
Входной ток инвертирующего входа, мкА при $U_{ВХ} = 0, R_{Н} = 100 \text{ Ом}$	$I_{ВХ-}$	минус 30	30	
Максимальное выходное напряжение, В при $U_{ВХ} = 2 \text{ В}, K_{УУ} = +3, R_{Н} = 100 \text{ Ом}$	$U_{ВЫХ \text{ max}}$	$\pm 3,6$	—	
Ток короткого замыкания, мА при $U_{ВХ} = 2 \text{ В}, K_{УУ} = +3$	$I_{КЗ}$	± 450	—	
Выходной ток, мА при $U_{ВХ} = 2 \text{ В}, K_{УУ} = +3, R_{Н} = 10 \text{ Ом}$	$I_{ВЫХ}$	± 300	—	
Ток потребления (на один канал ОУ), мА при $U_{ВХ} = 0, R_{Н} = 100 \text{ Ом}$	$I_{ПОТ}$	—	30	
Верхняя граничная частота полосы пропускания, МГц при $U_{ВЫХ} = 0,5 \text{ В}, K_{УУ} = +3, R_{Н} = 100 \text{ Ом}$	$f_{В}$	160	—	25
Скорость нарастания выходного напряжения, В/мкс при $U_{ВЫХ} = 2 \text{ В}, K_{УУ} = +3, R_{Н} = 100 \text{ Ом}$	$V_{U \text{ ВЫХ}}$	900	—	
Нормированная электродвижущая сила шума, нВ/ $\sqrt{\text{Гц}}$ при $U_{ВХ} = 0, K_{УУ} = +21, f_{ВХ} = 1 \text{ МГц}$	$E_{Ш.Н}$	—	8	
Коэффициент гармонических искажений, дБ ($R_{Н} = 10 \text{ Ом}, F_{ВХ} = 5 \text{ МГц}$)	$K_{Г}$	—	минус 55	

6. Схемы включения микросхемы и их типовые характеристики.

6.1 Неинвертирующее включение ОУ.



C1...C10 – керамические конденсаторы 0,1 мкФ, 10%, 25 В (устанавливаются в непосредственной близости от соответствующих выводов питания микросхемы);

D1 – микросхема;

G1 – источник синусоидального сигнала ($U_{PP} = 200$ мВ, $F = 1 - 250$ МГц);

G2, G3 – источники постоянного напряжения номиналом (4,75...5,25) В;

P – анализатор спектра;

R1 – резистор 51 Ом $\pm 5\%$, 0,125 Вт;

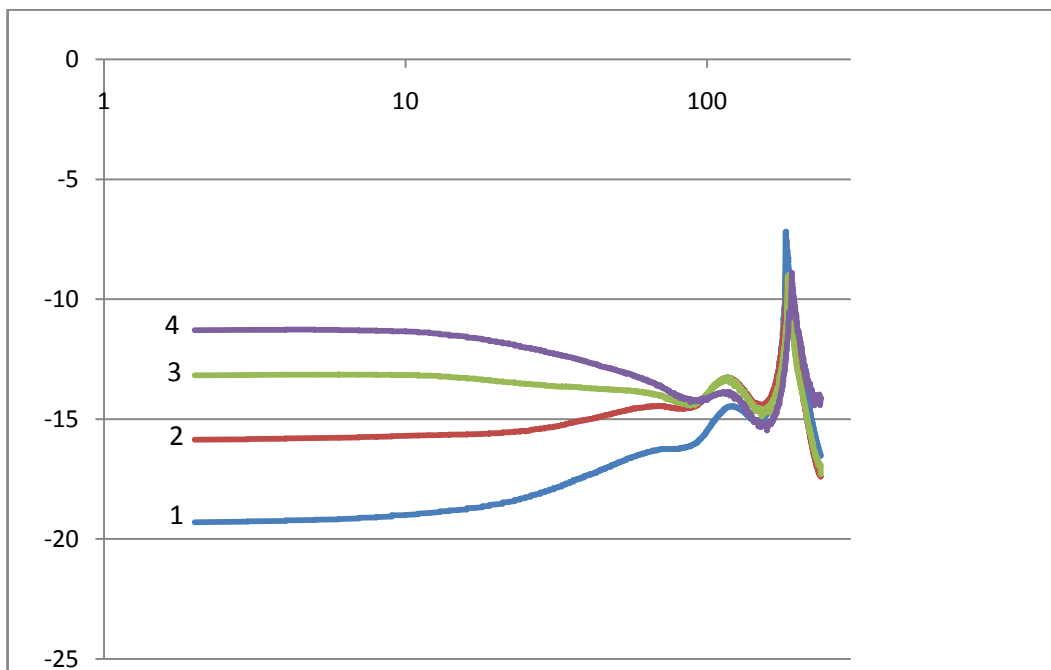
R2, R3 – резисторы 1 кОм $\pm 1\%$, 0,125 Вт;

R4, R5 – резисторы 0,125 Вт, $\pm 1\%$, (249 Ом для $K_u=5$; 332 Ом для $K_u=4$; 499 Ом для $K_u=3$; 1 кОм для $K_u=2$);

R7, R8 – резистор 51 Ом $\pm 5\%$, 0,125 Вт;

S1, S2 – переключатели.

Рис. 3 – Схема неинвертирующего включения микросхемы для измерения амплитудно-частотных характеристик

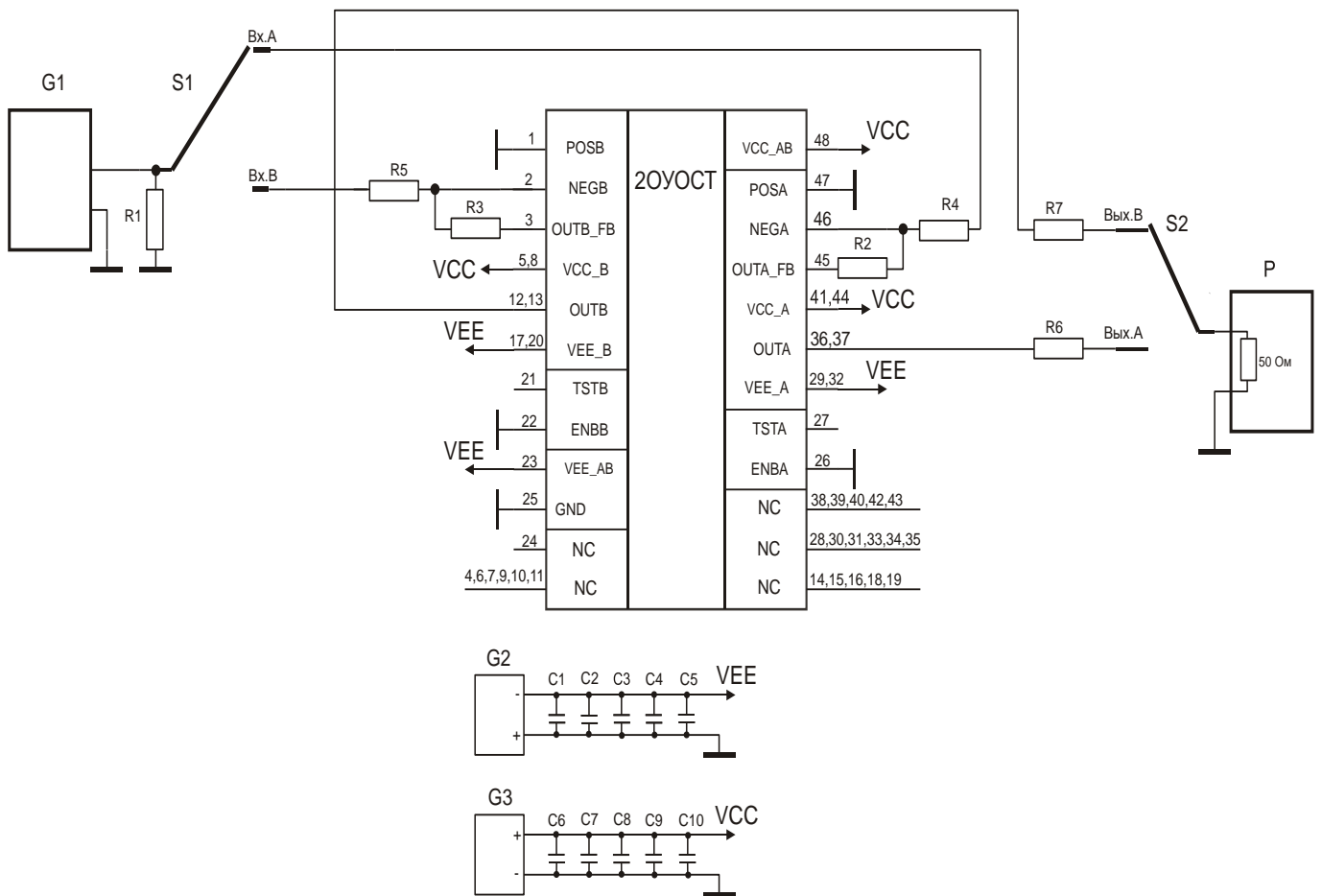


Полоса пропускания по уровню 3 дБ:

- | | | | | |
|----------|---|-----------|--------------------|----------------------|
| 1 | - | $K_y = 2$ | $F_B \geq 240$ МГц | $R_6 = R_7 = 1$ кОм |
| 2 | - | $K_y = 3$ | $F_B \geq 240$ МГц | $R_6 = R_7 = 499$ Ом |
| 3 | - | $K_y = 4$ | $F_B = 226$ МГц | $R_6 = R_7 = 332$ Ом |
| 4 | - | $K_y = 5$ | $F_B = 130$ МГц | $R_6 = R_7 = 249$ Ом |

Рис. 4 – Амплитудно-частотная характеристика каналов А, В микросхемы согласно схеме измерения рис.3 для различных K_y .

6.2. Инвертирующее включение ОУ



C1...C10 – керамические конденсаторы 0,1 мкФ, 10%, 25 В (устанавливаются в непосредственной близости от соответствующих выводов питания микросхемы);

D1 – микросхема;

G1 – источник синусоидального сигнала ($U_{PP} = 200$ мВ, $F = 1 - 250$ МГц);

G2, G2– источники постоянного напряжения номиналом (4,75...5,25) В;

P– анализатор спектра;

R1 – резистор 51 Ом $\pm 5\%$, 0,125 Вт;

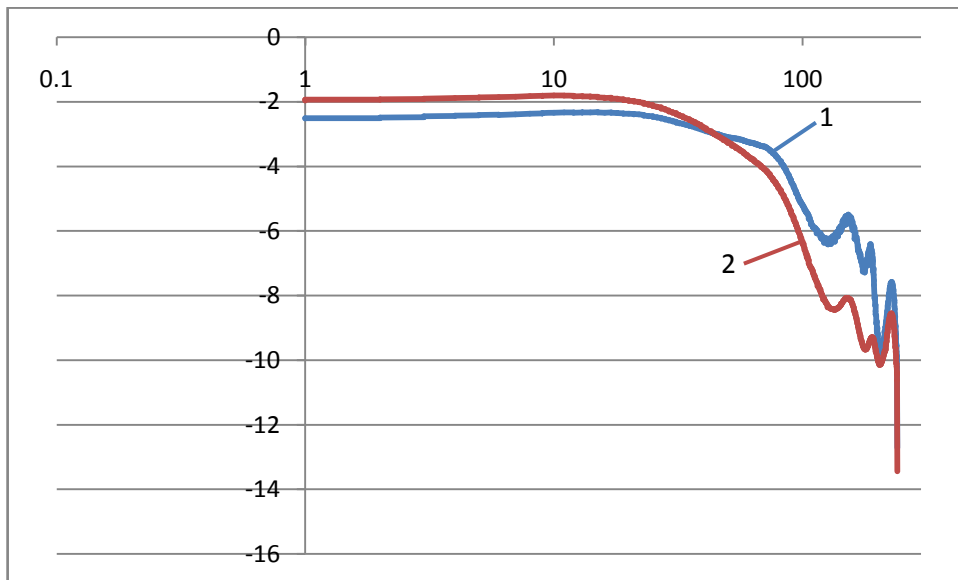
R2, R3 – резисторы 1 кОм $\pm 1\%$, 0,125 Вт;

R4, R5 – резисторы 0,125 Вт, $\pm 1\%$, (332 Ом для $K_u = -3$; 1кОм для $K_u = -1$);

R7, R6 – резистор 51 Ом $\pm 5\%$, 0,125 Вт;

S1, S2 – переключатели.

Рис. 5 – Схема инвертирующего включения микросхемы для измерения амплитудно-частотных характеристик

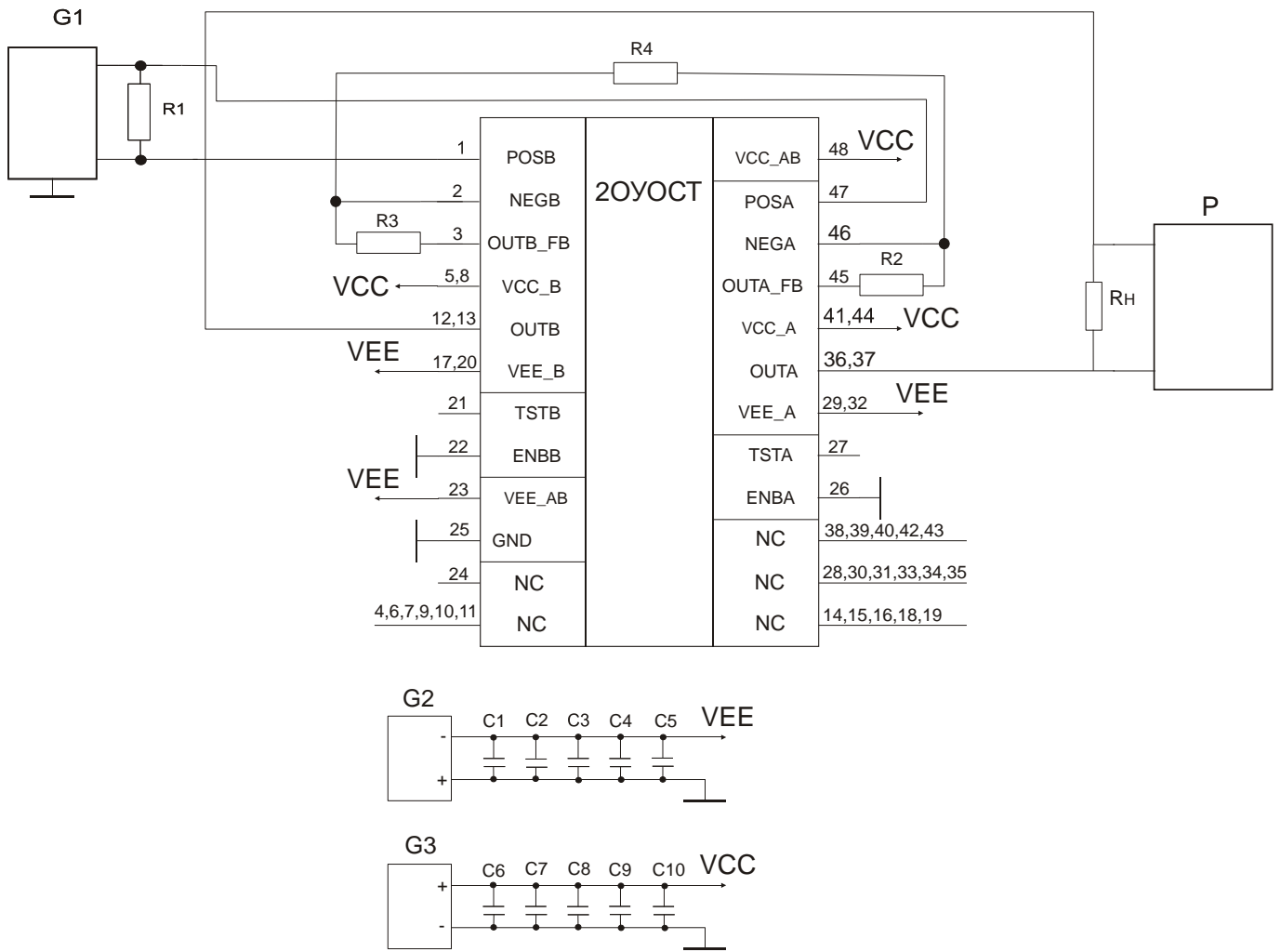


Полоса пропускания по уровню 3 дБ:

- 1** - $K_u = -1$ $F_B = 110$ МГц $R_6 = R_7 = 1$ кОм
- 2** - $K_u = -3$ $F_B = 88$ МГц $R_6 = R_7 = 332$ Ом

Рис. 6 – Амплитудно-частотная характеристика передатчиков А, В микросхемы согласно схеме измерения рис.5 для различных K_u .

6.3. Дифференциальное включение каналов ОУ.



C1...C10 – керамические конденсаторы 0,1 мкФ, 10%, 25 В (устанавливаются в непосредственной близости от соответствующих выводов питания микросхемы);

D1 – микросхема;

G1 – источник синусоидального сигнала ($U_{PP} = 1500$ мВ, $F = 1 - 250$ МГц);

G2, G3 – источники постоянного напряжения номиналом (4,75...5,25) В;

P – двухлучевой осциллограф;

R1 – резистор 51 Ом $\pm 5\%$, 0,125 Вт;

R2, R3 – резисторы 1 кОм $\pm 1\%$, 0,125 Вт;

R4 – резистор 249 Ом $\pm 1\%$, 0,125 Вт;

RH – резистор 50 Ом $\pm 5\%$, 1Вт;

$K_{у.диф} = 9$.

Рис. 7 – Схема дифференциального включения микросхемы для измерения амплитудно-частотных характеристик

6.3.1 Типовые значения основных технических характеристик усилителей **А, В** согласно схеме включения под электрическую нагрузку рис.7:

- максимальный размах сигнала (при $f_{вх} = 5$ МГц), не менее: **U_{вых} = 14,3 В** от пика до пика;
- гармонические искажения (при $f_{вх} = 5$ МГц, $U_{вых} = 14,3$ В), не более: **минус 60 дБ**;
- полоса пропускания по уровню **3 дБ**, не менее: **75 МГц** (см. рис. 8).

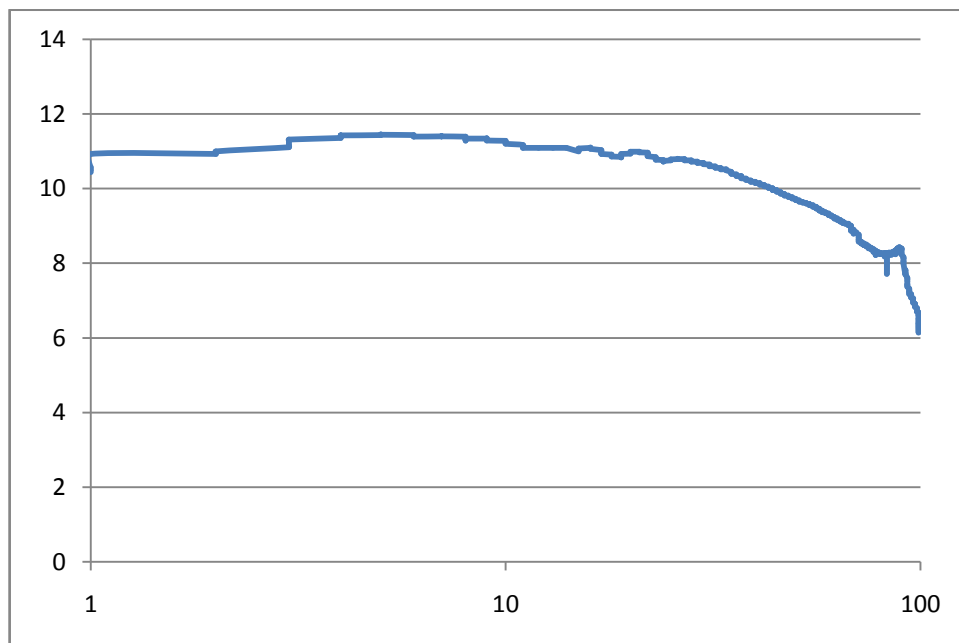
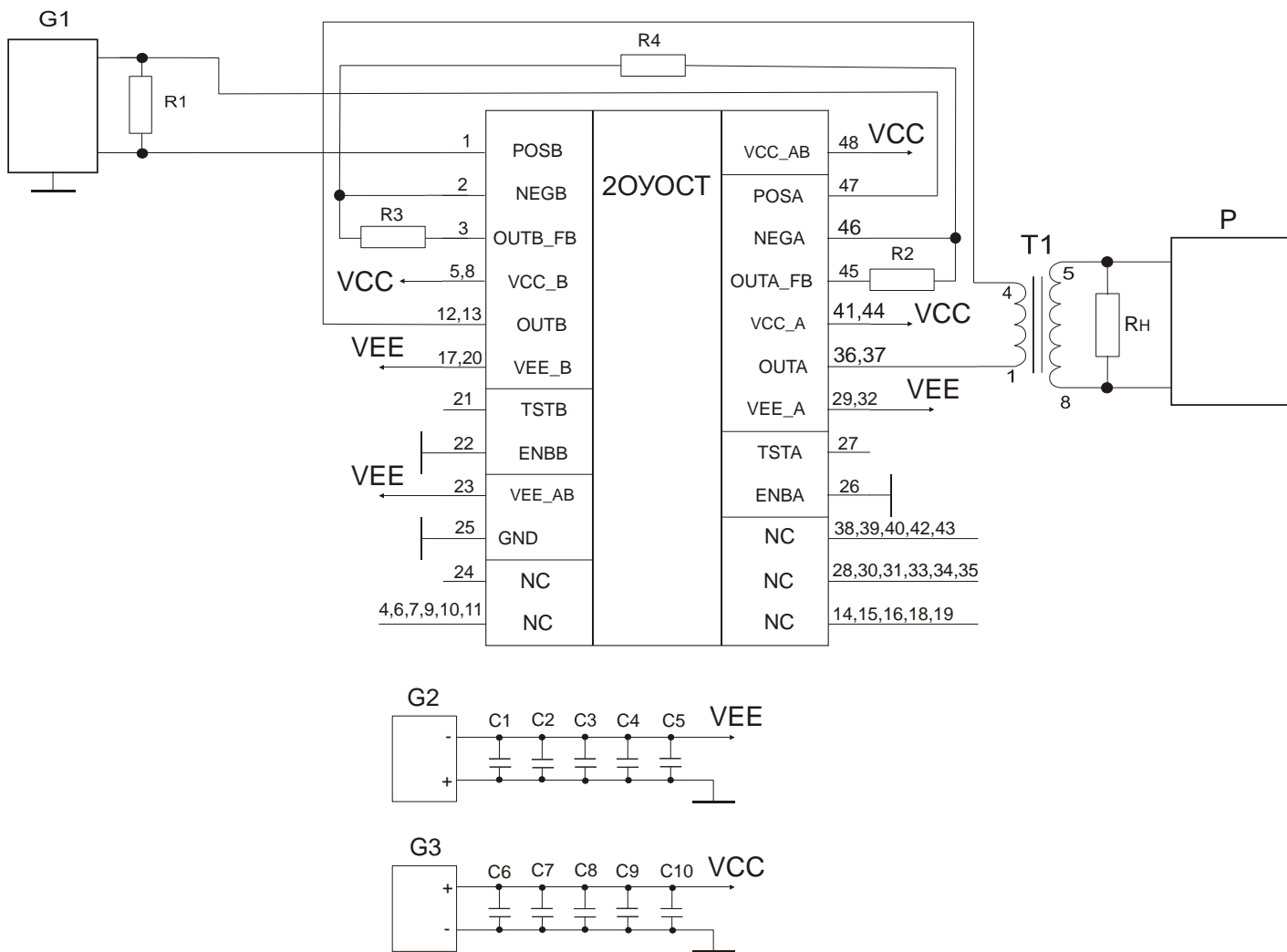


Рис. 8 – Амплитудно-частотная характеристика усилителей **А, В** микросхемы согласно схеме измерения рис.7

6.4 Нагрузка с выходным трансформатором



C1...C10 – керамические конденсаторы 0,1 мкФ, 10%, 25 В (устанавливаются в непосредственной близости от соответствующих выводов питания микросхемы);

D1 – микросхема;

G1 – источник синусоидального сигнала ($U_{pp} = 1500$ мВ, $F = 1 - 250$ МГц);

G2, G3 – источники постоянного напряжения номиналом (4,75...5,25) В;

P – двухлучевой осциллограф;

R1 – резистор 51 Ом $\pm 5\%$, 0,125 Вт;

R2, R3 – резисторы 1 кОм $\pm 1\%$, 0,125 Вт;

R4 – резистор 240 Ом $\pm 1\%$, 0,125 Вт;

RH – резистор 75 Ом $\pm 5\%$, 2Вт;

T1 – трансформатор ТИЛ6В;

$K_{u, \text{диф}} = 9$

Рис. 9 – Схема совместной работы приемника и передатчика микросхемы для измерения амплитудно-частотных характеристик с выходным трансформатором

6.4.1 Типовые значения основных технических характеристик **усилителей А, В** согласно схеме включения под электрическую нагрузку рис.9:

- максимальный размах сигнала (при $f_{вх} = 5$ МГц), не менее: **U_{вых} = 22 В** от пика до пика;
- гармонические искажения (при $f_{вх} = 5$ МГц, U_{вых} = 22 В), не более: **минус 60 дБ**;
- полоса пропускания по уровню 6 дБ, не менее: **35 МГц** (см. рис. 10).

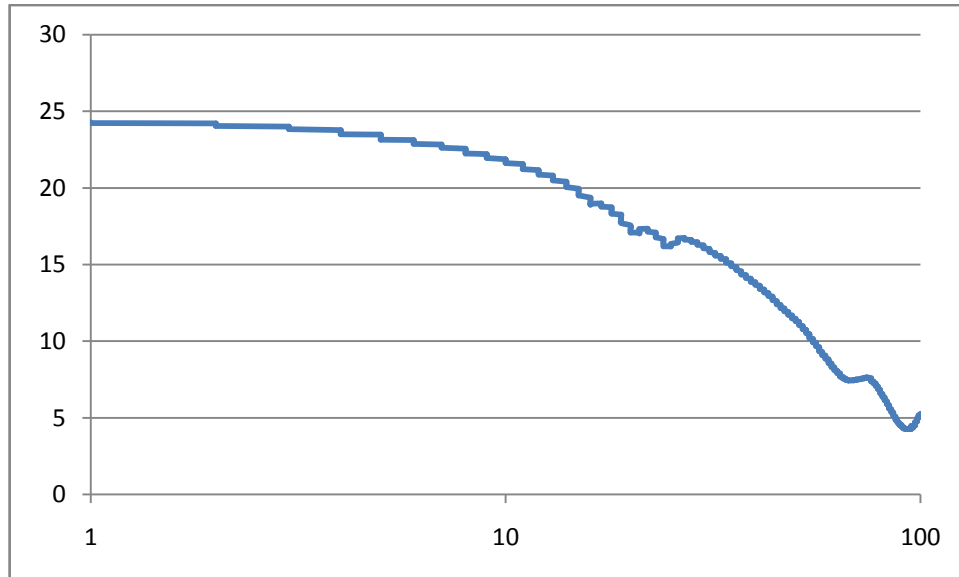


Рис. 10 – Амплитудно-частотная характеристика усилителей А, В микросхемы согласно схеме измерения рис. 9